

I-300 ハイブリッド合成けたの曲げ耐荷力に関する実験的研究

大阪大学大学院 学生員 中本泰弘
大阪大学工学部 正員 前田幸雄
大阪大学工学部 正員 旗川靖治

1. まえがき： 優れた力学的合理性を有する鋼・コンクリート合成けた橋に鋼材の最適使用化を目的とするハイブリッド鋼けたを適用することは、その合理性および経済性をより一層高めうるものと期待できる。ハイブリッドフレートガーダー車体の曲げ挙動に関してはこれまで内外において数多くの静的および疲労の両面からかなりの実験的および理論的研究がみられる。しかし、コンクリート床版と合成したハイブリッド合成けたに関する研究は数少なく、ハイブリッド合成けたの曲げ性状を十分明らかにしていとは言い難いようである。そこで本研究では、模型けたを用いた静的載荷試験を行うことにより、ハイブリッド合成けたが曲げモーメントを受けた場合の終局耐荷力とそれに至るまでの荷重と変形の関係も明らかにするとともに、従来からのモジニアス合成けたとの相違を把握しようとした。

2. 実験概要： 本実験の主たる目的は、前述のようにハイブリッド合成けたの塑性曲げ性状と終局曲げ耐荷力について (i) モジニアス合成けたとの比較 (ii) 鋼種の組合せによる変化状況 (iii) 床版ハンチの有無による相違 (iv) 疲労残留応力のウエブ早期降伏への影響などを調べることである。試験体の種類は鋼種の組合せ、床版ハンチの有無により Table 1 のように区分でき、1種類1体ずつ、載荷試験用計8体および疲労残留応力測定用計6体からなる。各実験シリーズの特徴は次のとおりである。H シリーズは将来その使用頻度が増加すると考えられる高張力鋼の HT80 を下フランジに使用し、ハイブリッド性を強調したものであり、HH シリーズはこれにさらに 4 cm の床版ハンチをつけ実際に乗設される合成けたの断面形に近づけたものである。また S シリーズは、現在最も一般的な高張力鋼である SM58 を下フランジに用い、さすが床版コンクリート上縁応力度が 0.85 fck (fck: コンクリートの設計基準強度) に達する前に下フランジ下縁が降伏するという、実際のけたの応力状態にできるだけ近い条件のもとで実験しようとするものである。載荷試験用試験体の代表的な断面形状・寸法を Fig. 1 に示す。支間は各実験シリーズともすべて 6 m である。残留応力測定用試験体は全長 2 m でその中央部に載荷用試験体の曲げパネルと同じ寸法の測定パネルを有している。載荷試験における荷重は、各試験体とも支間中央部 1 m の間隔をおいて油圧ジャッキ 2 台により 2 点集中荷重を与えた。荷重は各試験体とともに終局耐荷力に到達するまで静的に、段階的に増加させ、途中適時除荷を行い数回履歴させていわゆる静的繰返し載荷試験を行った後破壊に至らしめた。

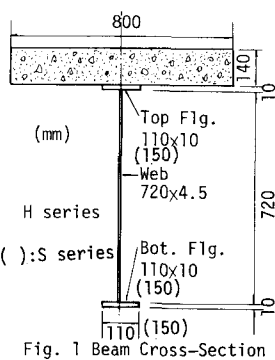
3. 実験結果： 実験結果の一例として、Fig. 2, 3 にそれぞれ代表的なモーメント-曲率曲線、荷重-たわみ曲線を、Table 2 に終局曲げ耐荷力を示す。静的繰返し載荷試験の結果、いずれのけたも最終的には荷重点間の床版コンクリートが圧潰することにより曲げ破壊を生じたが、コンクリートが圧潰するまでは上フランジの局部座屈、けたの横倒れ座屈あるいはせん断スパン内のウエブのせん断座屈などの不安定現象は全く見られなかった。Fig. 2 は H シリーズの M-φ 曲線であるが、いずれの処女曲線においても弾性から塑性への曲がり方が計算値に比べ非常にゆるやかである。これは鋼けた車体についての実験結果でも指摘されているように、主としてフランジ-ウエブすみ肉溶接部における密接着引張残留応力に起因するものであると考

Table 1 Summary of test specimens

| Test series | Specimens | L.T. | M.R. | T.F. | Web | B.F. | Concrete slab |
|-------------|-----------|------|------|------|-----|------|---------------|
| H | H88 RH88 | HT80 | HT80 | HT80 | | | plain slab |
| | H55 RH55 | SM50 | SM50 | HT80 | | | |
| | H54 RH54 | SM50 | SS41 | HT80 | | | |
| HH | HH88 — | HT80 | HT80 | HT80 | | | haunched slab |
| | HH54 — | SM50 | SS41 | HT80 | | | |
| S | S66 RS66 | SM58 | SM58 | SM58 | | | plain slab |
| | S55 RS55 | SM50 | SM50 | SM58 | | | |
| | S54 RS54 | SM50 | SS41 | SM58 | | | |

L.T.: Loading test

M.R.: Measurement of residual stress



えられるが、合成せたの場合にはこのほかコンクリートのP-δ曲線の非線形性もかなり影響していうものと思われる（計算ではコンクリートも完全弾塑性体としている）。ホモジニアス合成せたとハイブリッド合成せたの曲げ性状における相違は、Fig.3のHHシリーズについてみればホモジニアスせたのP-δ曲線がゆるやかに変化しているのに対し、ハイブリッドせたの曲線は計算上のウェブ降伏荷重前後から徐々に非線形性が強くなりはじめ曲がり方が少しきつくなっている。計算ではフランジ降伏まではほぼ直線性を保っているが、実験値では残留応力の影響によりかなりの非線形性がみられ、ウェブ早期降伏現象を明瞭に見いだすことはできない。正の曲げモーメントを受ける合成せたの終局曲げ耐荷力の算定方法には、最終状態におけるた断面の応力分布を仮定する方法とコンクリート上縁最大圧縮ひずみをある限界値内に制限する方法の2通りが考えられる。Table 2中理論値 P_p は全断面塑性矩形応力分布としたときの値であり、 P_{cu} はコンクリート上縁ひずみの値が-0.0035に達した時の値である。この表より明らかに実験値は大部分のせたについて P_p よりも P_{cu} の値に近く、その差もほぼ5%以内となっている。本実験の結果より、ハイブリッド合成せたの弾塑性曲げ性状および終局耐荷力について次のことがえる。(1)ハイブリッド合成せたの荷重-変形曲線はホモジニアス合成せたのそれに比べると、弾塑性域での曲がり方が少しきつくなっている。従来より鋼板に単体について報告されている実験結果とほぼ同様の傾向を示した。(2)試験せたの荷重-変形曲線には、接着残留応力、ウェブの初期変形などの影響によりいずれも低い荷重からかなりの非線形性がみられたが、繰返し載荷後の再載荷曲線はほぼ線形であり、その傾きは弹性計算値と良く一致していた。特にハイブリッド合成せたにおいてウェブの一部が降伏域に入っている場合でも、荷重-変形挙動はほぼ線形的であった。(3)ハイブリッド合成せたにおけるウェブ鋼材の違いによる曲げ性状の相違は、終局耐荷力の違いを除けば、ほとんど無いと考えられる。(4)床版にハンチを設けることによりホモジニアスせた、ハイブリッドせたとともに曲げ剛性および終局曲げ耐荷力は当然増大するが、せたの曲げ性状は本質的にはほとんど変化しない。ハンチを設けたことによる終局耐荷力の増加率はホモジニアスせたよりもハイブリッドせたにおいて若干大きかった。(5)HシリーズとSシリーズとにおける下フランジ鋼材の違いによる曲げ性状の相違はほとんど無いと言える。(6)今回の試験体のようにかなりスレンダーな鋼断面を有する合成せたの終局曲げ耐荷力は、全断面塑性矩形応力分布を仮定して算定するよりもコンクリートの最大圧縮ひずみを制限して算出する方が、より正確に評価できるようである。ただし、最大圧縮ひずみの値については検討を要する。

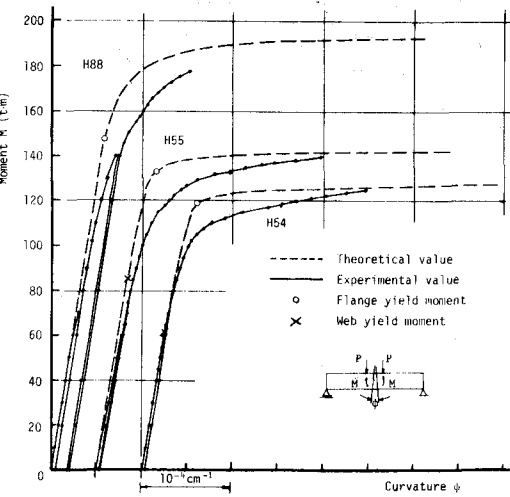


Fig. 2 Moment-curvature curves for H series

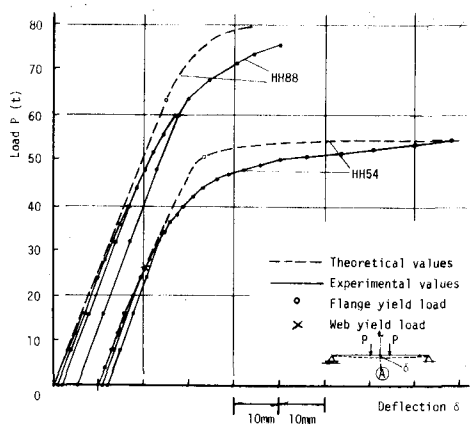


Fig. 3 Load-deflection curves for HH series

Table 2 Maximum Load-Carrying Capacity

| Beam | Test results | | Theoretical value | | |
|------|--------------|-----------|-------------------|--------------|--------------|
| | P_u (t) | P_p (t) | P_u/P_p | P_{cu} (t) | P_u/P_{cu} |
| H88 | 72.0 | 78.0 | 0.923 | 75.2 | 0.957 |
| H55 | 56.5 | 57.2 | 0.988 | 56.7 | 0.996 |
| H54 | 50.5 | 50.9 | 0.992 | 50.4 | 1.022 |
| HH88 | 76.5 | 83.0 | 0.922 | 80.4 | 0.951 |
| HH54 | 55.5 | 54.6 | 1.016 | 54.3 | 1.002 |
| S66 | 58.0 | 60.3 | 0.962 | 59.6 | 0.973 |
| S55 | 58.0 | 57.3 | 1.012 | 56.8 | 1.021 |
| S54 | 50.3 | 51.2 | 0.982 | 50.7 | 0.992 |

P_p : Maximum load for fully plastic rectangular stress block with concrete strength of $0.85\sigma_c$

P_{cu} : Maximum load for 3500μ of maximum strain of concrete

なお残留応力の測定結果、残留応力の曲げ性状に対する影響などについては、当日発表する。